

Резонансные перенапряжения в сети 35 кВ с компенсированной нейтралью в условиях однофазных коротких замыканий в питающей сети 110 кВ

ДРОЖЖИНА И. Л.; nio_bolid@ngs.ru

НАУМКИН И. Е., канд. техн. наук; ienau@yandex.ru

ЛИСКЕ А. Г., ТЕЛЕГИН А. В.; nio_bolid@mail.ru

ООО «Болид»

630015, г. Новосибирск, Электрозаводская ул., 2, корп. 6



И. Л. Дрожжина



И. Е. Наумкин



А. Г. Лиске



А. В. Телегин

Показано, что при однофазных коротких замыканиях в питающей сети 110 кВ на стороне шин 35 кВ возникают опасные для подстанционного оборудования резонансные перенапряжения в условиях компенсации ёмкостных токов дугогасительными реакторами. Режим нейтрали с низкоомным резистивным заземлением в сети 35 кВ позволяет задемпфировать резонансные перенапряжения наряду с ограничением дуговых, коммутационных и феррорезонансных перенапряжений.

Ключевые слова: резонансное перенапряжение, дугогасительный реактор, резистивное заземление, низкоомный резистор.

В электрических сетях напряжением 110 кВ используются следующие режимы заземления нейтрали:

– глухозаземлённая, с подключением нейтралей трансформаторов непосредственно к заземляющему контуру;

– у одной части трансформаторов нейтраль глухо заземлена, а у другой части нейтраль изолирована от земли (нейтрали присоединяются через отключённые разъединители) — эффективное заземление. При этом осуществляется ограничение: при любых коммутациях в сети не должно образовываться изолированных участков, в которых отсутствуют трансформаторы с заземлёнными нейтралями.

Обычно частичное (эффективное) заземление нейтрали в сетях 110 кВ используется для ограничения однофазных токов короткого замыкания (КЗ). Также с этой целью нейтраль может быть заземлена через реактор или резистор. Если токи КЗ достаточно малы, то в сети все нейтрали трансформаторов глухо заземлены. Далее для сети напряжением 110 кВ рассматривается только режим глухозаземлённой нейтрали.

В настоящее время в российских сетях 35 кВ используются следующие режимы заземления нейтрали:

– изолированная от земли;

– компенсированная, с подключением дугогасящего реактора (ДГР) [катушки Петерсена];

– резистивная с подключением резистора;

ной нейтралью, хорошо известны. Трудности эксплуатации таких распределительных сетей связаны с возникновением дуговых, коммутационных и феррорезонансных перенапряжений [1]. Также изучены явления в распределительных сетях с резонансно заземлённой нейтралью [2]. Обычно при проведении исследований использовался стандартный подход, при котором рассматривалась непосредственно сеть напряжением 6–35 кВ и коммутации в этой сети.

В статье рассмотрены явления, возникающие в сети 35 кВ при КЗ на стороне высшего напряжения трансформатора 110 кВ. Дополнительно исследованы отличия протекающих процессов в распределительной сети 35 кВ в зависимости от типов применённых трансформаторов.

Характеристики электрической сети и моделирование

Характеристики электрической сети

Распределительная сеть 35 кВ, присоединённая к питающей сети 110 кВ через трансформатор 110/35 кВ, исследована в двух вариантах (рис. 1):

а) двухобмоточный трансформатор со схемой соединения обмоток «звезда с заземлённой нейтралью/звезда с изолированной нейтралью или заземлённой через ДГР» (Y_g/Y_n);

б) трёхобмоточный трансформатор со схемой соединения обмоток «звезда с заземлённой нейтралью/звезда с изолированной нейтралью или заземлённой через ДГР/треугольник» ($Y_g/Y_n/\Delta$).

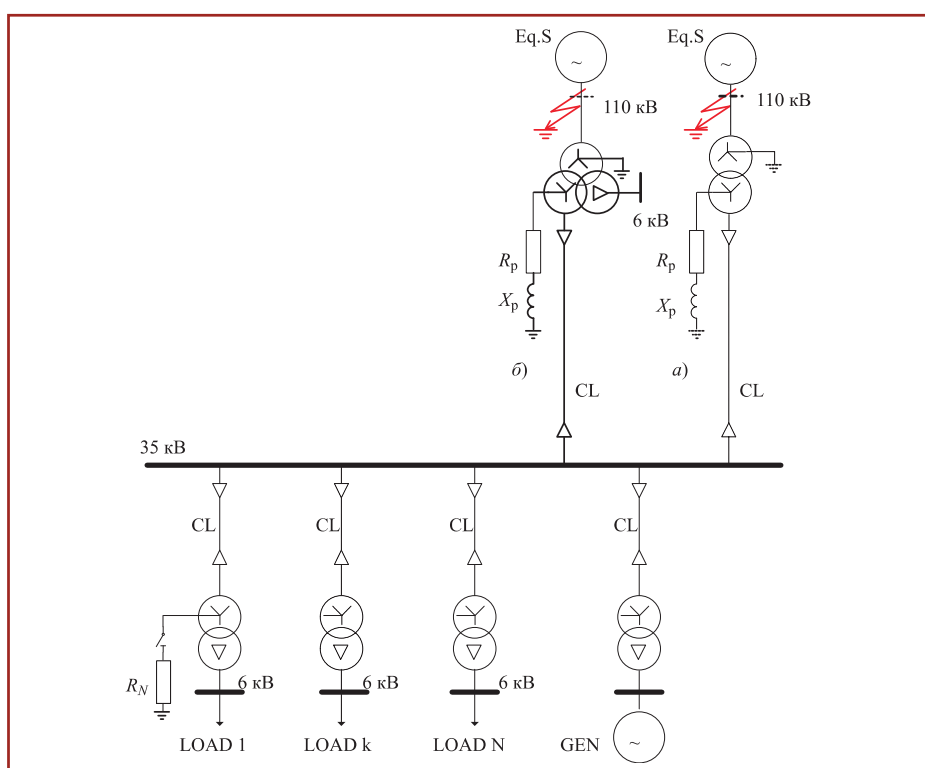


Рис. 1. Однолинейная схема сети 110 – 35 кВ:

а – с двухобмоточным трансформатором 110/35 кВ; б – с трёхобмоточным трансформатором 110/35/10 кВ.

К шинам 35 кВ подключены фидерные кабельные линии (КЛ) к трансформаторам 35/6 кВ с обмотками, соединёнными по схеме Y_n/Δ . Нейтрали трансформаторов со стороны 35 кВ могут быть изолированы от земли или заземлены через резистор.

При исследовании электромагнитных процессов, протекающих в сети 35 кВ при КЗ в сети 110 кВ, применяли программные комплексы EMTP-RV¹ и MAES [3]. Поскольку в программе EMTP-RV отсутствует элемент схемы «Трёхобмоточный трансформатор» с выведенными нейтралями на среднем напряжении ($Y_g/Y_n/\Delta$) [в наборе элементов EMTP-RV представлен только «Трёхобмоточный трансформатор» с глухозаземлёнными нейтралями ($Y_g/Y_g/\Delta$)], использовали программу MAES. Для одинаковых расчётных схем с двухобмоточными трансформаторами результаты вычисления программ EMTP-RV и MAES — одинаковы.

Основные электрические параметры компонентов реальной промышленной сети, являющейся объектом исследования, приведены в Приложении.

Моделирование

Рассмотрим схему сети с компенсированной нейтралью, в случае, когда схема нулевой последовательности — резонансная. Представим эквивалентную схему замещения нулевой последовательности сети 110 – 35 кВ (рис. 2), где использованы обозначения: $\dot{Z}_{j T1}$ ($j = 1, 2, 3$) — импедансы обмоток трансформатора 110/35/6 ($j = 1$ — обмотки высшего напряжения, соединённые по схеме «звезда» с короткозамкнутой нейтралью; $j = 2$ — обмотки среднего напряжения, соединённые по схеме «звезда» с подключением к нейтрали \dot{Z}_{NT1} ; $j = 3$ — обмотки низшего напряжения, соединённые в «треугольник»); $\dot{Z}_{j T2}$ ($j = 1, 2$) — импедансы обмоток трансформатора 35/6 ($j = 1$ —

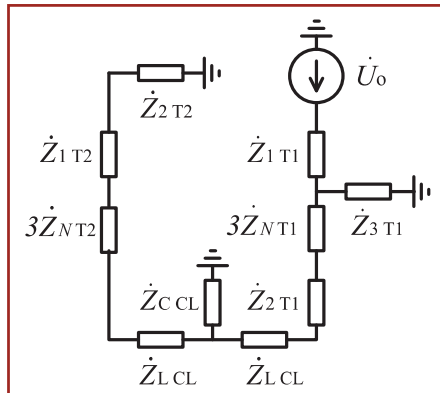


Рис. 2. Схема замещения нулевой последовательности электрической сети 110 – 35 кВ

обмотки напряжения 35 кВ, соединённые в «звезду» с подключением к нейтрали \dot{Z}_{NT1} ; $j = 2$ — обмотки напряжения 6 кВ, соединённые в «треугольник»); $\dot{Z}_{L CL}$, $\dot{Z}_{C CL}$ — импедансы кабельных линий; \dot{U}_0 — напряжение нулевой последовательности.

Анализ схемы рис. 2 позволяет сделать предварительные заключения. Видно, что при изолированной нейтрали трансформатора T_1 ($|\dot{Z}_{NT1}| \rightarrow \infty$) нижняя часть схемы изолируется от действия напряжения \dot{U}_0 , поэтому при любом способе заземления трансформатора T_2 , в том числе при заземлении через ДГР, резонансных явлений в сети 35 кВ не будет при КЗ на стороне 110 кВ. Импеданс $\dot{Z}_{3 T1}$ третьей обмотки трансформатора T_1 действует как шунт для резонансного контура (при этом токи нулевой последовательности протекают по обмоткам, не выходя за их пределы), поэтому чем больше будет $|\dot{Z}_{3 T1}|$, тем меньше он будет демпфировать резонансные напряжения в контуре. Отсюда следует отличие явлений в сети 35 кВ, протекающих при использовании двухобмоточного трансформатора 110/35, от явлений, происходящих при применении трёхобмоточного транс-

форматора 110/35/6: резонансные явления в сети при использовании двухобмоточного трансформатора будут выражены более существенно.

Рассмотрим вариант связи сети 35 кВ с сетью 110 кВ посредством двухобмоточного трансформатора с соединением обмоток Y_g/Y_n . Проведём расчёты для максимально упрощённой схемы, затем покажем тенденции к изменению результатов, связанных с усложнением схемы.

В качестве упрощённой будем рассматривать схему с однофазным КЗ в сети 110 кВ, в которой к шинам 35 кВ присоединены два фидера: один через трансформатор 110/35 запитывает рассматриваемую распределительную сеть, другой через трансформатор 35/6 присоединяет нагрузку. Сеть 35 кВ работает с резонансно заземлённой нейтралью, в связи с чем нейтраль трансформатора 35/6 изолирована от земли, нейтраль трансформатора 110/35 со стороны 35 кВ соединена с ДГР.

Для полной компенсации ёмкостного тока индуктивность ДГР должна соответствовать величине [2]:

$$X_{pb0} = \frac{1}{3b_{0C}}, \quad (1)$$

где b_{0C} — суммарная ёмкостная проводимость КЛ нулевой последовательности.

Проведём расчёт частотных характеристик сети 35 кВ при включении чисто реактивного ДГР с индуктивностью $X_{pb0} = 433,32$ Ом, рассчитанной по (1) в соответствии с данными параметров КЛ (табл. А3). Результаты расчётов приведены на рис. 3 (кривая 1).

Поскольку в сети имеются активные и индуктивные сопротивления, то значение X_{pb0} , рассчитанное по (1), точно резонансному значению при $f = 50$ Гц не соответствует. Корректирование X_{pb0} для попадания в резонанс можно привести по формуле:

$$X_{p50} = X_{pb0} \left(\frac{f_{b0}}{f_{50}} \right)^2. \quad (2)$$

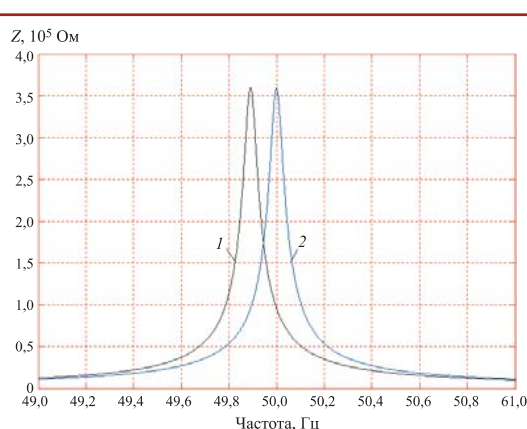


Рис. 3. Входное сопротивление компенсированной цепи 35 кВ

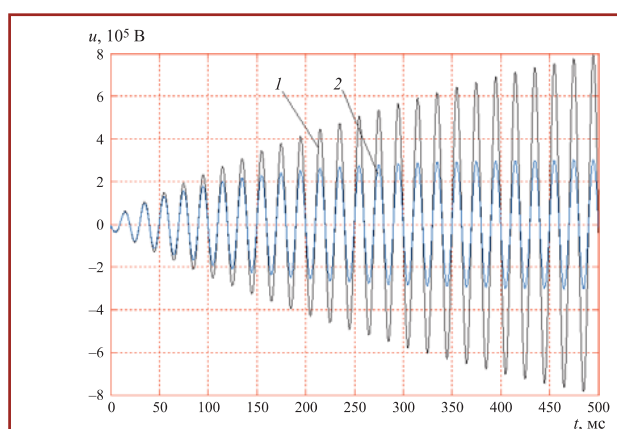


Рис. 4. Результаты расчёта напряжения на шинах 35 кВ при $X_p = 431,43$ Ом:

1 — при $R_p = 4$ Ом; 2 — при $R_p = 22$ Ом

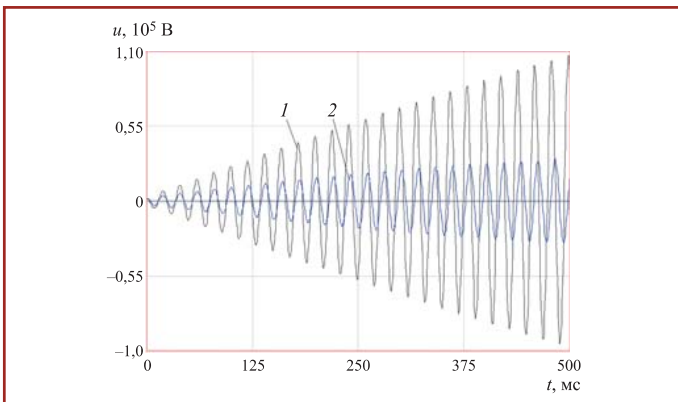


Рис. 5. Результаты расчёта напряжения на шинах 35 кВ при $X_p = 431,43 \text{ Ом}$, $R_p = 0 \text{ Ом}$:

1 — для двухобмоточного трансформатора 110/35 кВ; 2 — для трёхобмоточного трансформатора 110/35/6 кВ

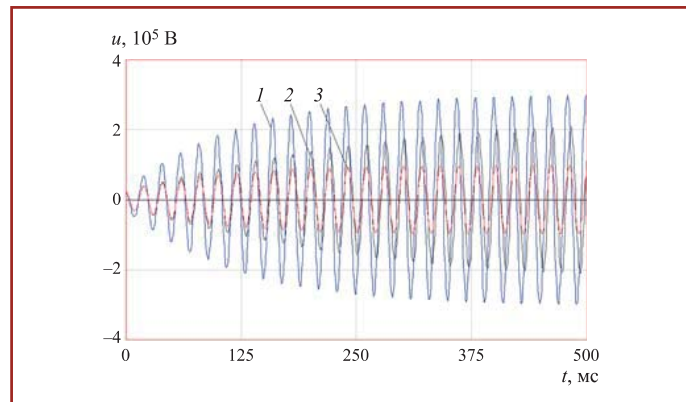


Рис. 6. Результаты расчёта напряжения на шинах 35 кВ при $X_p = 431,43 \text{ Ом}$:

1 — для двухобмоточного трансформатора 110/35 кВ, $R_p = 22 \text{ Ом}$; 2 — для трёхобмоточного трансформатора 110/35/6 кВ, $R_p = 4 \text{ Ом}$; 3 — для трёхобмоточного трансформатора 110/35/6 кВ, $R_p = 22 \text{ Ом}$

Частотная характеристика сети при включении только реактивного ДГР со скорректированной индуктивностью $X_{p50} = 431,43 \text{ Ом}$ представлена на рис. 3 (кривая 2).

Активное сопротивление обмотки ДГР R_p можно оценить, так как известно, что типичная добротность ДГР находится в диапазоне $X_p/R_p = 20 \div 100$, откуда $R_p = 4 \div 22 \text{ Ом}$.

Напряжение на шинах 35 кВ при подключённом к нейтрали ДГР с индуктивностью $X_p = 431,43 \text{ Ом}$ и активными сопротивлениями $R_p = 4 \text{ Ом}$, $R_p = 22 \text{ Ом}$ представлено на рис. 4.

Из рис. 4 видно, что рассчитанное резонансное перенапряжение даже при $R_p = 22 \text{ Ом}$ представляет неприемлемую величину (коэффициент перенапряжения равен 5,27 отн. ед.).

При практической реализации режима компенсированной нейтрали допускается компенсация ёмкостного тока с избыточной компенсацией (ток — индуктивный, $X_p = 0,95X_{p50}$) и с недостаточной компенсацией (ток — ёмкостный, $X_p = 1,05X_{p50}$). Расчёт показал, что при $R_p = 22 \text{ Ом}$ в обоих случаях коэффициент перенапряжений примерно равен 4,2 отн. ед.

Рассмотрим более сложную схему электрической сети с большим количеством присоединённых фидеров с нагрузками. По формуле (1) для пяти фидеров получаем $X_{pb0} = 168,23 \text{ Ом}$, после корректирования по (2) $X_{p50} = 166,48 \text{ Ом}$ (изменение в пределах 1 %). Разница в значениях напряжения на шинах 35 кВ в резонансных схемах с одним и пятью фидерами (в обоих случаях $R_p = X_{p50}/20 \text{ Ом}$) оказалась в пределах 1,1 %. При расчёте с условием $R_p = X_{p50}/100 \text{ Ом}$ разница возрастает до 5 % (для схемы с пятью фидерами значения напряжения меньше), что также можно оценить малой величиной. Таким образом, усложнение схемы, связанное с увеличением количества подключённых фидеров, практически не оказывает влияния на величину резонансного перенапряжения.

Представим результаты расчёта резонансных перенапряжений в сети 35 кВ при использовании в схеме трёхобмоточного трансформатора 110/35/6 кВ с нейтралью, подключённой к земле, и активным сопротивлением $R_p = 22 \text{ Ом}$.

Частотная характеристика сети при включении только реактивного ДГР со скорректированной индуктивностью $X_{p50} = 431,43 \text{ Ом}$ представлена на рис. 3 (кривая 2).

Активное сопротивление обмотки ДГР R_p можно оценить, так как известно, что типичная добротность ДГР находится в диапазоне $X_p/R_p = 20 \div 100$, откуда $R_p = 4 \div 22 \text{ Ом}$.

Как и предполагали при анализе схемы рис. 2 третья обмотка трансформатора 110 кВ оказывает демпфирующее воздействие на напряжения шин 35 кВ. Однако характер резонансных перенапряжений (рост до значительных величин) третья обмотка трансформатора не изменяет.

При учёте активных потерь в обмотке ДГР ($R_p = 4 \div 22 \text{ Ом}$) напряжения на шинах 35 кВ снижаются (рис. 6).

На рис. 6 представлены рассчитанные напряжения на шинах 35 кВ при использовании трёхобмоточного трансформатора в вариантах высокодобротного ДГР, $R_p = 4 \text{ Ом}$ (осциллограмма 2, коэффициент перенапряжений — 3,7 отн. ед.) и низкодобротного ДГР, $R_p = 22 \text{ Ом}$ (осциллограмма 3, коэффициент перенапряжений — 1,7 отн. ед.). Для сравнения приведена осциллограмма 1, полученная в условиях применения двухобмоточного трансформатора и ДГР, $R_p = 22 \text{ Ом}$ (см. рис. 6).

Таким образом, в диапазоне рассмотренных сетевых параметров, установленных трансформаторов и ДГР возможны неприемлемые резонансные повышения напряжения на шинах 35 кВ в условиях однофазного КЗ в питанияющей сети 110 кВ.

Резистивное заземление нейтрали

В недалеком прошлом российские сети 35 кВ практически все эксплуатировались в режимах изолированных от земли или компенсированных нейтралей. Однако в настоящее время в распределительных сетях существует тенденция перевода сетей в режим резистивного заземления нейтрали. Во многом такой перевод вызван массовым внедрением кабеля с изоляцией из сшитого полиэтилена (СПЭ).

В сетях с изолированной нейтралью с воздушными линиями электропередачи однофазное замыкание на землю (ОЗЗ) могло держаться без отключения линии длительное время до выезда ремонтной бригады к месту замыкания и его устранения. Работа линии электропередачи при ОЗЗ без отключения создавала условия для высокой надёжности обеспечения электроэнергией потребителя.

В кабелях с изоляцией из СПЭ однофазное замыкание приводит к прожиганию изоляции и переводу в режим КЗ (двухфазного, а затем трёхфазного). Поэтому кабели с изоляцией из СПЭ при ОЗЗ необходимо немедленно отключать действием релейной защиты. Селективность работы релейной защиты существенно увеличивается при резистивном заземлении нейтрали, так как активный ток от резисторов протекает исключительно в присоединении с однофазным повреждением.

Также немаловажную роль в смене режима заземления нейтрали играет новая концепция развития интеллектуальных электрических сетей (Smart Grid). Принципы Smart Grid подразумевают минимизацию потерь электрической энергии для потребителей, чему соответствует режим резистивного заземления нейтрали [4].

В целях исключения резонансных перенапряжений предлагается к нейтрали некоторых трансформаторов 35/6 кВ подключать низкоомные резисторы. При отсутствии трансформаторов 35/6 кВ с нейтральными выводами необходимо на шины 35 кВ подключать резисторы через фильтры нулевой последовательности (трансформаторы без вторичной обмотки со схемой соединения «зигзаг» — Z).

На рис. 7 приведены рассчитанные напряжения на шинах 35 кВ при $X_p = 431,43 \text{ Ом}$, $R_p = 4 \text{ Ом}$ для двухобмоточного трансформатора 110/35 кВ (кривая 1) и для трёхобмоточного трансформатора 110/35/6 кВ (кривая 2), но с заземлением нейтрали трансформатора 35/6 через активное сопротивление $R_N = 100 \text{ Ом}$.

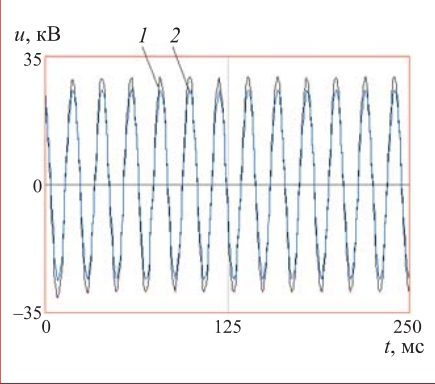


Рис. 7. Результаты расчёта напряжения на шинах 35 кВ при $X_p = 431,43 \text{ Ом}$, $R_p = 4 \text{ Ом}$ с заземлением нейтрали трансформатора 35/6 через активное сопротивление $R_N = 100 \text{ Ом}$:

1 — для двухобмоточного трансформатора 110/35 кВ; 2 — для трёхобмоточного трансформатора 110/35/6 кВ

Как видно из рис. 7 для любого варианта использованных трансформаторов наличие активного сопротивления в контуре нулевой последовательности сети 35 кВ позволяет эффективно демпфировать резонансные перенапряжения, чего нельзя добиться простым увеличением активного сопротивления ДГР. Действие резисторов на демпфирование резонансных перенапряжений оценивается как дополнительный положительный фактор к вышеперечисленным достоинствам сетей с резистивно заземлёнными нейтралями.

Выходы

1. При однофазных КЗ в питающей сети 110 кВ на стороне шин 35 кВ, подключённых через трансформатор 110/35 кВ со схемой соединения обмоток Y_g/Y_n или трансформатор 110/35/6 кВ со схемой соединения $Y_g/Y_n/\Delta$, в условиях компенсации ёмкостных токов дугогасительными реакторами возникают опасные для оборудования подстанции резонансные перенапряжения.

2. В целях исключения возникновения резонансных перенапряжений практической рекомендацией является требование тщательно просчитывать режимы компенсированной нейтрали в распределительных сетях 35 кВ с учётом аварийных режимов как в самой сети 35 кВ, так и в питающей сети 110 кВ.

3. Режим нейтрали с низкоомным резистивным заземлением в сети 35 кВ наряду с ограничением перенапряжений при дуговых, коммутационных и феррорезонансных перенапряжениях, позволяет задемпфировать резонансные перенапряжения, возникающие при однофазных КЗ в питающей сети 110 кВ, а также даёт возможность селективно выявить повреждённое присоединение и организовать его автоматическое отключение.

СПИСОК ЛИТЕРАТУРЫ

- Willheim R., Waters M. Neutral grounding in high voltage transmission. Elsevier, New York, 1956.
- Перенапряжения в сетях 6 – 35 кВ / Ф. А. Гиндуллин, В. Г. Гольдштейн, А. А. Дульзон, Ф. Х. Халилов. — М.: Энергоатомиздат, 1989. — 192 с.
- Multipurpose power system simulator: implementation based on modern principles / I. Naumkin, M. Balabin, N. Lavrushenko, R. Naumkin. International Conference on Power Systems Transients (IPST2009). Kyoto, Japan, June 3 – 6, 2009.
- Control of resistive neutral grounding based on the smart grid principles / E. Ryzhkova; S. Tsyruk; Yu. Matiunina. International Conference on Industrial Engineering, Applications and Manufacturing (ICIEAM). 16 – 19 May 2017. St. Petersburg, Russia.

ПРИЛОЖЕНИЕ

1. Параметры эквивалентной системы 110 кВ. Параметры определяются по значениям токов КЗ. При известных токах однофазного $I^{(1)}$ и трёхфазного $I^{(3)}$ КЗ на шинах расчёт индуктивных сопротивлений системы при известных токах подпитки от эквивалентируемой системы при однофазном $I^{(1S)}$ и трёхфазном $I^{(3S)}$ КЗ проводится по формулам:

$$X_{1S} = \frac{U_{ph}}{I^{(3S)}} = \frac{63,5 \text{ кВ}}{6,3 \text{ кА}} = 10 \text{ Ом}; \quad (A.1)$$

$$X_{0S} = X_{1S} \frac{3 - 2 \frac{I^{(1)}}{I^{(3)}}}{3 \frac{I^{(1S)}}{I^{(3S)}} - 2 \frac{I^{(1)}}{I^{(3)}}} = 10 \cdot \frac{3 - 2 \cdot \frac{25}{30}}{3 \cdot \frac{4,9}{6,3} - 2 \cdot \frac{25}{30}} = 20 \text{ Ом} \quad (A.2)$$

где X_{1S} , X_{0S} — индуктивные сопротивления прямой и нулевой последовательности эквивалентной электрической системы 110 кВ; U_{ph} — фазное значение напряжения на шинах.

2. Параметры трансформаторов. Параметры вычисляли по формулам:
для двухобмоточных трансформаторов:

$$U_\Phi^j = \begin{cases} U^j, & \text{при соединении обмоток в «треугольник»;} \\ U^j / \sqrt{3}, & \text{при соединении обмоток в «звезду»;} \end{cases};$$

$$S_\Phi = S_{\text{ном}} / 3; u_k^B = u_k^H = u_k / 2; P_k^B = P_k^H = P_k / 2;$$

$$L_j = \frac{1}{n 100} \frac{u_k^j (U_\Phi^j)^2}{S_\Phi \omega}; R_j = \frac{1}{n 10^3} \frac{P_k^j (U_\Phi^j)^2}{(S_\Phi)^2};$$

$$j = B, H.$$

где $S_{\text{ном}}$ — номинальная мощность трансформатора, МВА; U^B , U^H — рабочие напряжения обмоток высшего (В) и низшего (Н) напряжения, кВ; u_k — напряжение КЗ, %; P_k — активные потери КЗ, кВт; n — число однотипных, параллельных трансформаторов; ω — синхронная частота, 1/с;

для трёхобмоточных трансформаторов:

$$\begin{cases} U^j, & \text{при соединении обмоток в «треугольник»;} \\ U^j / \sqrt{3}, & \text{при соединении обмоток в «звезду»;} \end{cases};$$

$$S_\Phi = S_{\text{ном}} / 3; P_k^{BH} = P_k^{CH} = 0,8 P_k^{BC};$$

$$u_k^B = 0,5(u_k^{BC} + u_k^{BH} - u_k^{CH}); P_k^B = 0,5(P_k^{BC} + P_k^{BH} - P_k^{CH});$$

$$u_k^C = 0,5(u_k^{BC} + u_k^{CH} - u_k^{BH}); P_k^C = 0,5(P_k^{BC} + P_k^{CH} - P_k^{BH});$$

$$u_k^H = 0,5(u_k^{BH} + u_k^{CH} - u_k^{BC}); P_k^L = 0,5(P_k^{BH} + P_k^{CH} - P_k^{BC});$$

$$L_j = \frac{1}{n 100} \frac{u_k^j (U_\Phi^j)^2}{S_\Phi \omega}; R_j = \frac{1}{n 10^3} \frac{P_k^j (U_\Phi^j)^2}{(S_\Phi)^2};$$

$$j = B, C, H,$$

где использованы однотипные обозначения, как и в (A.3), U^C — рабочее напряжение обмотки среднего напряжения, кВ; u_k^{BC} , u_k^{BH} , u_k^{CH} — напряжения КЗ обмоток ВС (высшего – среднего напряжения), ВН (высшего – низшего напряжения), СН (среднего – низшего напряжения), %; P_k^{BC} — активные потери КЗ обмоток ВС, кВт.

Вычисленные значения параметров двухобмоточных трансформаторов приведены в табл. А1.

Таблица А1

| $S_{\text{ном}}$, МВА | U_B , кВ | U_H , кВ | u_k , % | P_k , кВт | L_B , Гн | R_B , Ом | L_H , Гн | R_H , Ом |
|------------------------|------------|------------|-----------|-------------|------------|------------|------------|------------|
| 63 | 115 | 38,5 | 10,5 | 245 | 0,035 | 1,22 | 0,004 | 0,14 |
| 40 | 36,75 | 10,5 | 11,5 | 170 | 0,0062 | 0,215 | 0,0005 | 0,018 |
| 25 | 36,75 | 6,3 | 9,5 | 115 | 0,0082 | 0,373 | 0,00024 | 0,011 |

Вычисленные значения параметров трёхобмоточных трансформаторов приведены далее.

| | | | | | | | |
|-------------------------------|------|------------------------------|------|------------------------------|--------|---------------------------|--------|
| $S_{\text{ном}}, \text{МВА}$ | 63 | $u_{\text{к В}}, \%$ | 10,5 | $P_{\text{к Н}}, \text{kВт}$ | 93 | $L_{\text{Н}}, \text{Гн}$ | 0,0004 |
| $U_{\text{В}}, \text{kВ}$ | 115 | $u_{\text{к С}}, \%$ | 0 | $L_{\text{В}}, \text{Гн}$ | 0,0702 | $R_{\text{Н}}, \text{Ом}$ | 0,0085 |
| $U_{\text{С}}, \text{kВ}$ | 38,5 | $u_{\text{к Н}}, \%$ | 6,5 | $R_{\text{В}}, \text{Ом}$ | 1,55 | | |
| $U_{\text{Н}}, \text{kВ}$ | 11 | $P_{\text{к В}}, \text{kВт}$ | 155 | $L_{\text{С}}, \text{Гн}$ | 0 | | |
| $P_{\text{к ВС}}, \text{kВт}$ | 310 | $P_{\text{к С}}, \text{kВт}$ | 155 | $R_{\text{С}}, \text{Ом}$ | 0,174 | | |

3. Параметры кабельных линий

В табл. А2 приведены параметры кабельных линий при равенстве параметров прямой и нулевой последовательности.

Таблица А2

| Последовательность | Длина, км | $R, \text{Ом}/\text{км}$ | $X, \text{Ом}/\text{км}$ | $b, \text{мкСим}/\text{км}$ |
|--------------------|-----------|--------------------------|--------------------------|-----------------------------|
| 0 | 3,71 | 0,100 | 0,187 | 81,681 |
| 1 | 3,71 | 0,100 | 0,187 | 81,681 |
| 0 | 4,24 | 0,0464 | 0,172 | 109,956 |
| 1 | 4,24 | 0,0464 | 0,172 | 109,956 |



А. И. Ширковец



А. А. Лаптева

Аналитическая оценка опасности и защиты от феррорезонансных процессов в распределительной сети 6 – 10 кВ промышленного предприятия

ШИРКОВЕЦ А. И., канд. техн. наук

ООО «Болид»; 630015, г. Новосибирск, Электрозаводская ул., 2, корп. 6
nio_bolid@mail.ru

ЛАПТЕВА А. А., Новосибирский государственный технический университет
630073, Новосибирск, просп. Карла Маркса, 20, корп. 2
aytalina14@mail.ru

Выполнена инженерная оценка опасности возникновения явления группового феррорезонанса в зависимости от значения ёмкостного тока и числа электромагнитных трансформаторов напряжения применительно к кабельным сетям 6 – 10 кВ крупного промышленного предприятия металлургической отрасли. В программном комплексе Matlab Simulink на основе зарегистрированных в натурном эксперименте параметров замыканий на землю (осциллографом) разработана математическая модель для расчёта переходных процессов с учётом известных характеристик намагничивания установленных трансформаторов напряжения. Выявлены опасные с точки зрения развития устойчивого или неустойчивого феррорезонанса участки сети. Рассмотрены основные меры подавления феррорезонанса, основанные на изменении конструкции трансформаторов напряжения и оптимизации схемных решений с дополнительным демпфированием. Определены требуемые значения активного сопротивления, включаемого в нейтраль, для эффективного решения поставленной задачи.

Ключевые слова: замыкание на землю, групповой феррорезонанс, трансформаторы напряжения, перенапряжение, математическое моделирование.

Причина возникновения феррорезонансных процессов (ФРП) в электрических сетях — возникновение несимметрии в контуре нулевой последовательности, что вызывает появление напряжения смещения нейтрали. В результате возмущения фазная ёмкость относительно земли получает избыточ-

ный заряд, который после исчезновения несимметрии стекает через заземлённые обмотки высшего напряжения всех трансформаторов напряжения (ТН), включённых в схему. В сети с изолированной нейтралью это единственный путь стекания избыточного заряда. В зависимости от начальных условий, соот-

ношения ёмкости сети на землю и индуктивности ТН, т. е. положения «рабочей точки» на его кривой намагничивания, процесс разряда может быть либо затухающим, либо незатухающим. В первом случае происходит неустойчивый ФРП, во втором — устойчивый.

В электрических сетях среднего напряжения с малыми ёмкостными токами однофазного замыкания на землю (ОЗЗ), эксплуатируемых в режиме изолированной нейтрали, в ряде случаев создаются условия возникновения ФРП с протеканием сверхтоков в первичных обмотках ТН. Однако возникновение ФРП не исключено и в сетях 6 – 10 кВ с большим током ОЗЗ при значительном количестве ТН электромагнитного типа с заземлёнными первичными обмотками. Условия возбуждения ФРП определяются в зависимости от текущего значения ёмкостного тока, числа и типов измерительных трансформаторов напряжения в электрически связанный сети и режима заземления нейтрали.

Основные причины возникновения феррорезонансных перенапряжений в сетях 6 – 10 кВ — отключение ОЗЗ, перемежающиеся дуговые замыкания на землю, коммутации холостых шин ёмкостью примерно до 100 нФ с появлением «ложной земли» [1 – 4].

Повреждение трансформаторов напряжения

К одной из основных причин повреждения ТН относятся броски тока намагничивания в первичных обмотках ТН, что особенно характерно для процесса перемежающегося дугового ОЗЗ. Установлено, что такие токи возникают при ФРП, наиболее часто имеющем частоту субгармоник $50n$ ($n = 1/2, 1/3, \dots$). Действующее значение этих токов значительно превышает максимально допустимое по тепловой устойчивости изоляции обмотки значение в 0,12 – 0,20 А для трансформаторов напряжения 6 – 10 кВ [2].

Устойчивые ФРП, сопровождающиеся бросками токов в первичных обмотках ТН, могут приводить к каскадному повреждению ТН. Вследствие высоких уровней токов в первичных обмотках ТН происходит нарушение тепловой стойкости обмоток высшего напряжения и лавинообразный пробой по внутренней витковой изоляции с перекрытием основной изоляции ТН. В ряде случаев наблюдается разлом литой изоляции ТН (рис. 1). Переход дефектов в стадию быстрого развития с представленным характерным повреждением литой изоляции ТН вызван сильной разрядной активностью в местах неплотного прилегания литого корпуса к изолированной обмотке высшего напряжения. Технологически достичь устранения локализованных воздушных полостей в этих местах крайне сложно, а испытания ТН